

# 近似ベイズ計算法を用いた 生物数理モデルの構築と展望

柴田達夫

Laboratory for Physical Biology, RIKEN Quantitative Biology Center (QBiC) &  
RIKEN Center for Developmental Biology (CDB)

謝辞

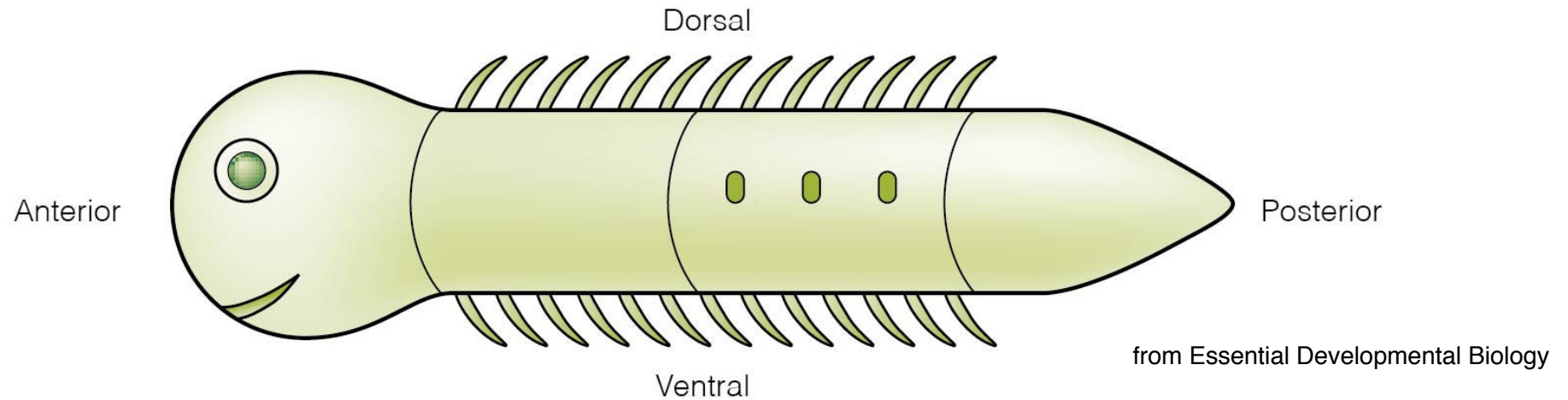
猪股秀彦, 笹井芳樹

RIKEN Center for Developmental Biology (CDB)

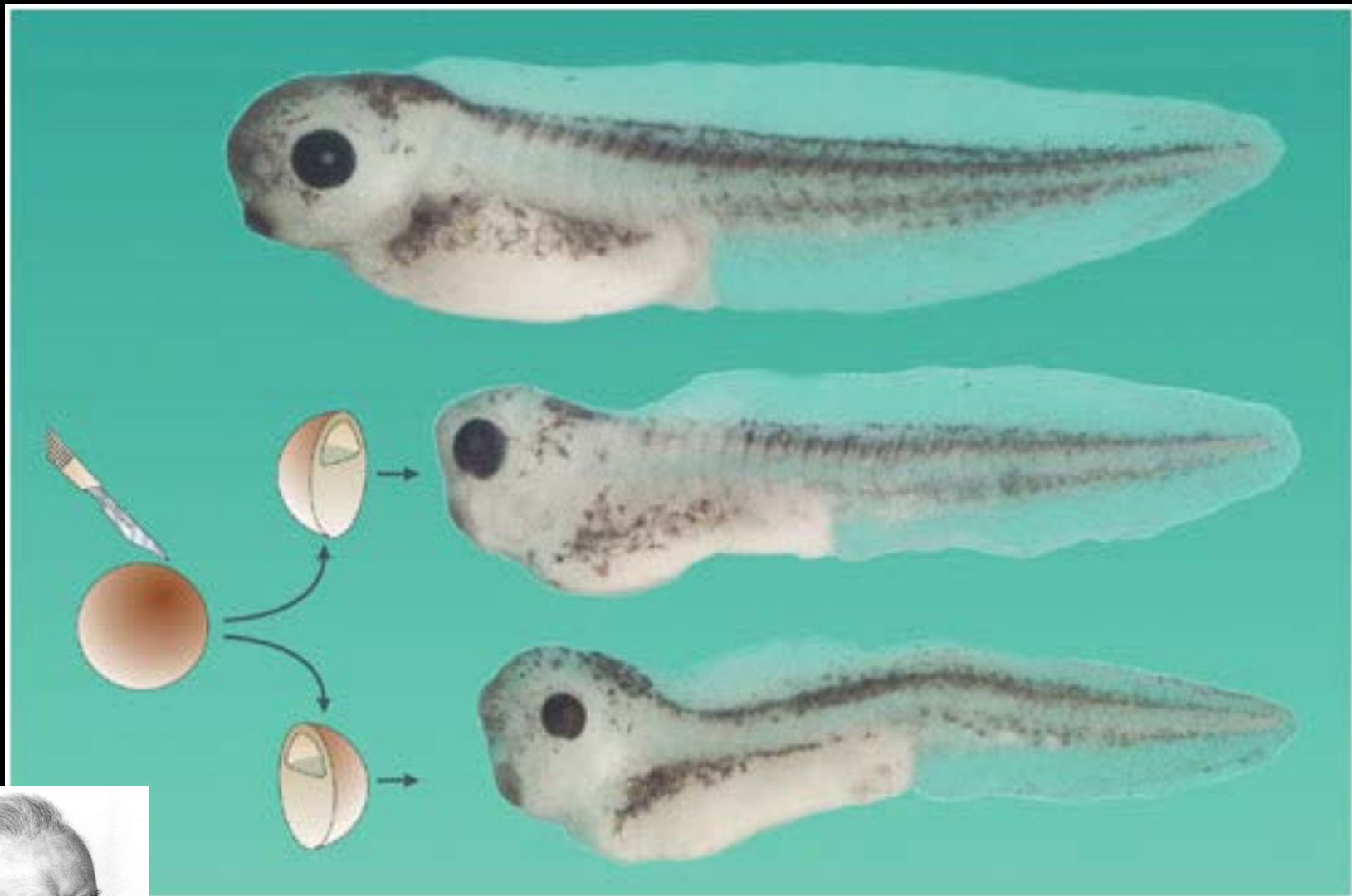
# ライフサイエンスのチャレンジ

- 分子や相互作用の知識の蓄積
- 働きを理解するには不十分
- シミュレーションによる再構成 => 理解
- しかし、基礎方程式は不確実
- 数理モデル = 仮説の構築
- パラメータ値の不可知性

# からだの基本的な3つの軸



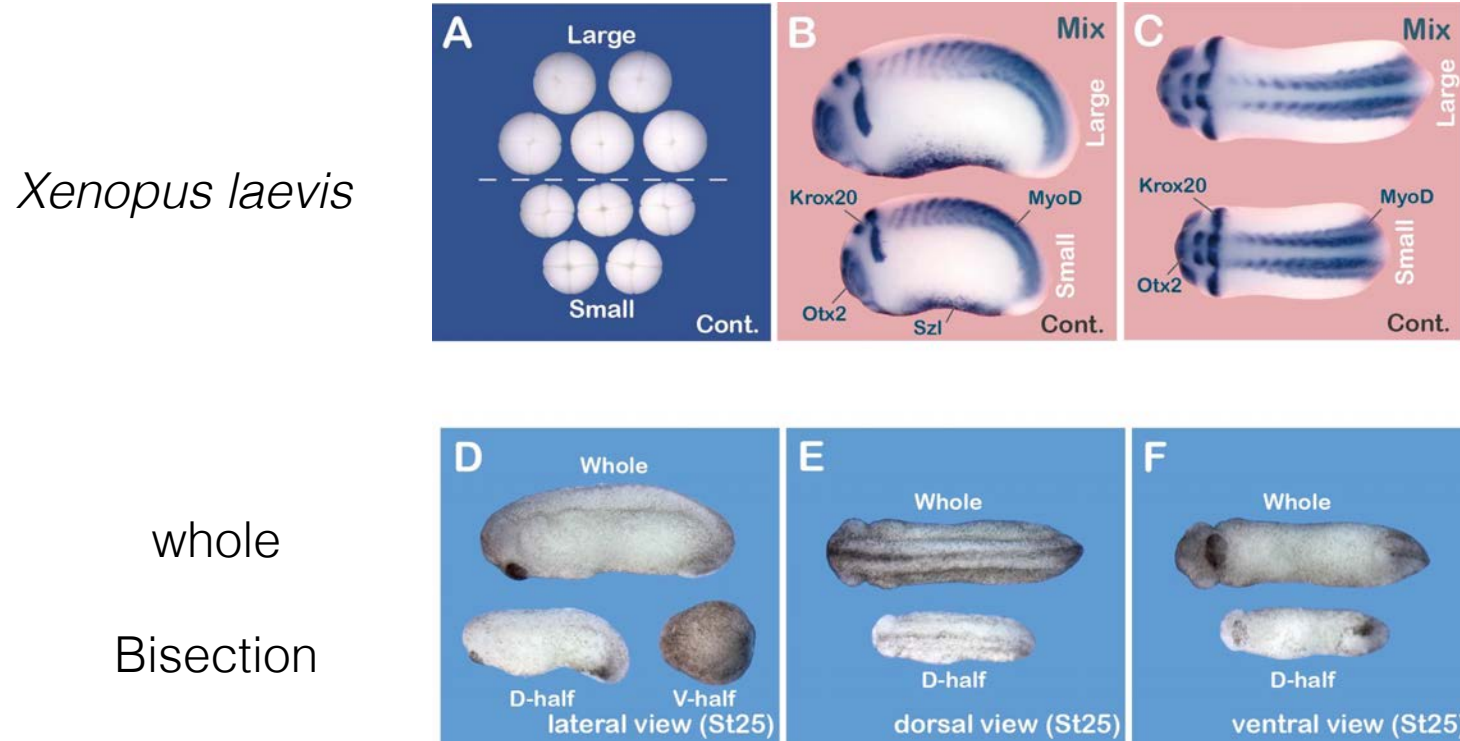
- Anterior-Posterior (AP axis、前後軸)
- Dorsal-Ventral (DV axis、背腹軸)
- Left-Right (左右軸)



Copyright © 2006 Nature Publishing Group  
Nature Reviews | Molecular Cell Biology

Hans Spemann

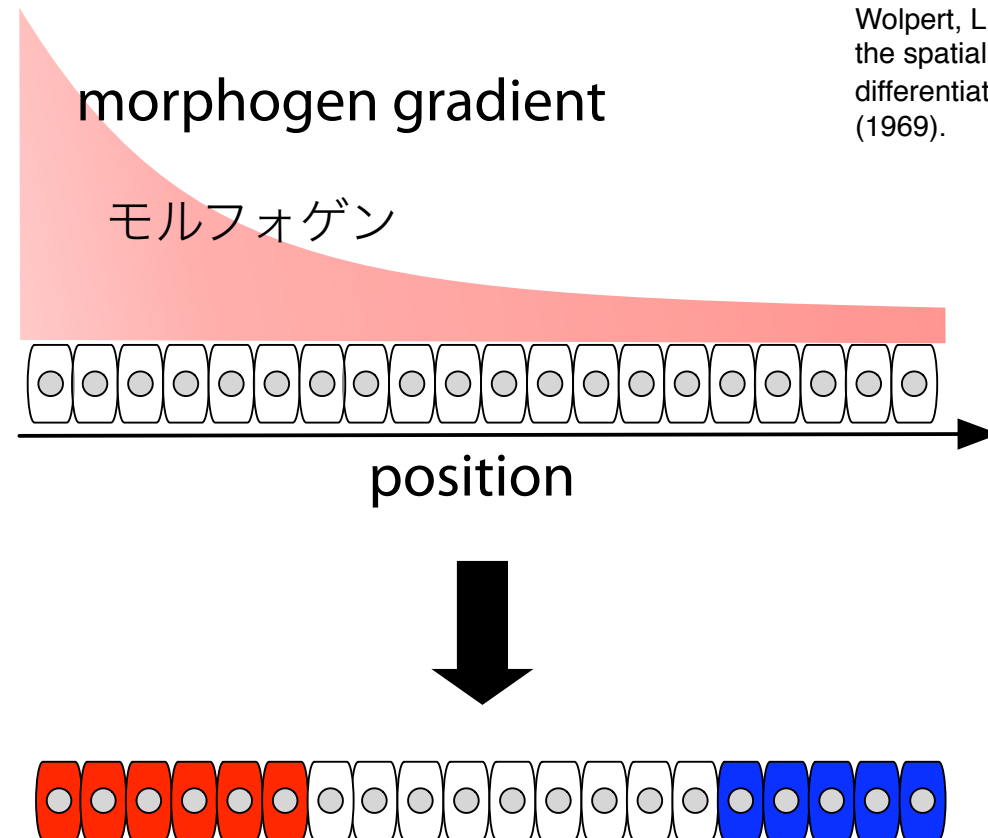
# 背腹軸パタン形成のスケーリング性



- 胚のサイズの違いにもかかわらず、背腹軸のパタン形成はプロポーションが維持されている。
- 背腹軸のパターンを体のサイズに適応させる仕組みは何か？
- 「スケーリング性のあるパタン形成」

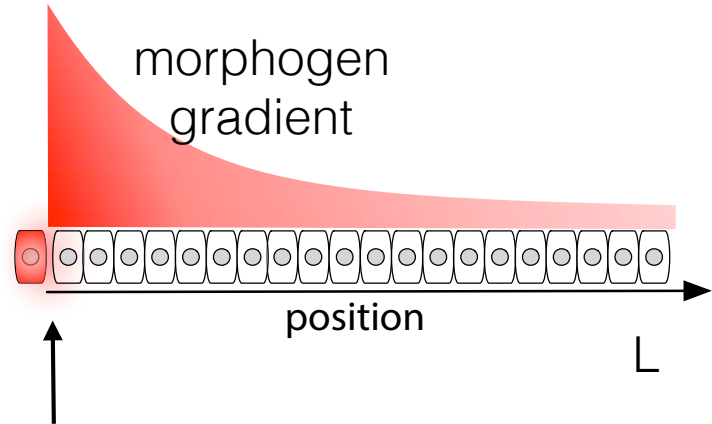
# 濃度勾配が位置情報を与える

Wolpert's "French flag" model



Wolpert, L. Positional information and  
the spatial pattern of cellular  
differentiation. *J Theor Biol* 25, 1–47  
(1969).

# 拡散係数と分解レートが濃度勾配を決める



$$\frac{\partial c}{\partial t} = -\lambda c + D \frac{\partial^2 c}{\partial x^2}$$

$$D \frac{\partial c}{\partial x} \Big|_{x=0} = -J$$

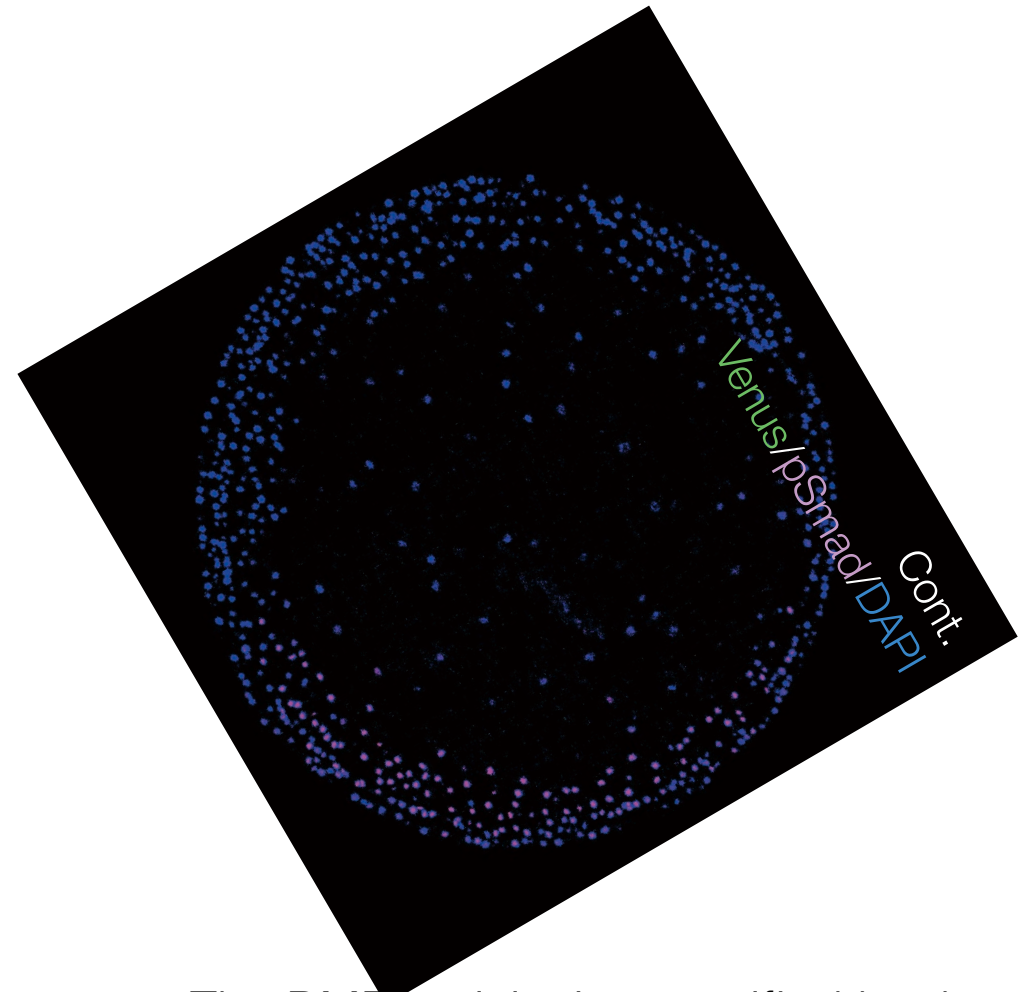
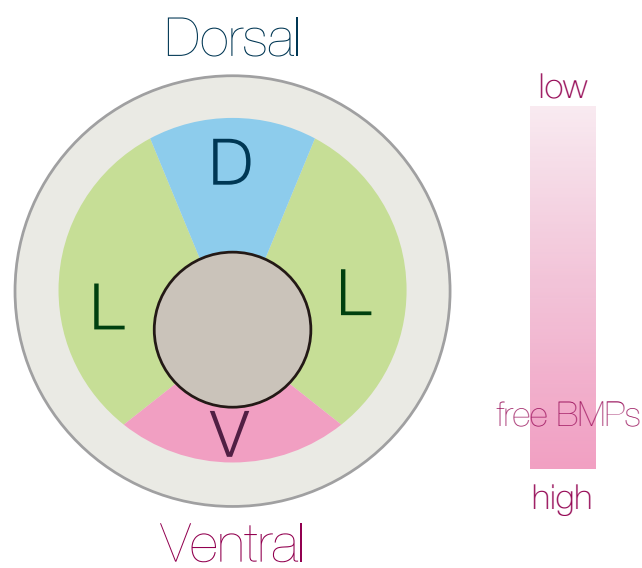
source of morphogen

The morphogen gradient:  $C(x) = \frac{J}{\sqrt{D\lambda}} e^{-\frac{x}{\sqrt{D/\lambda}}}$

The diffusion distance  $\ell = \sqrt{D/\lambda} (\mu m)$

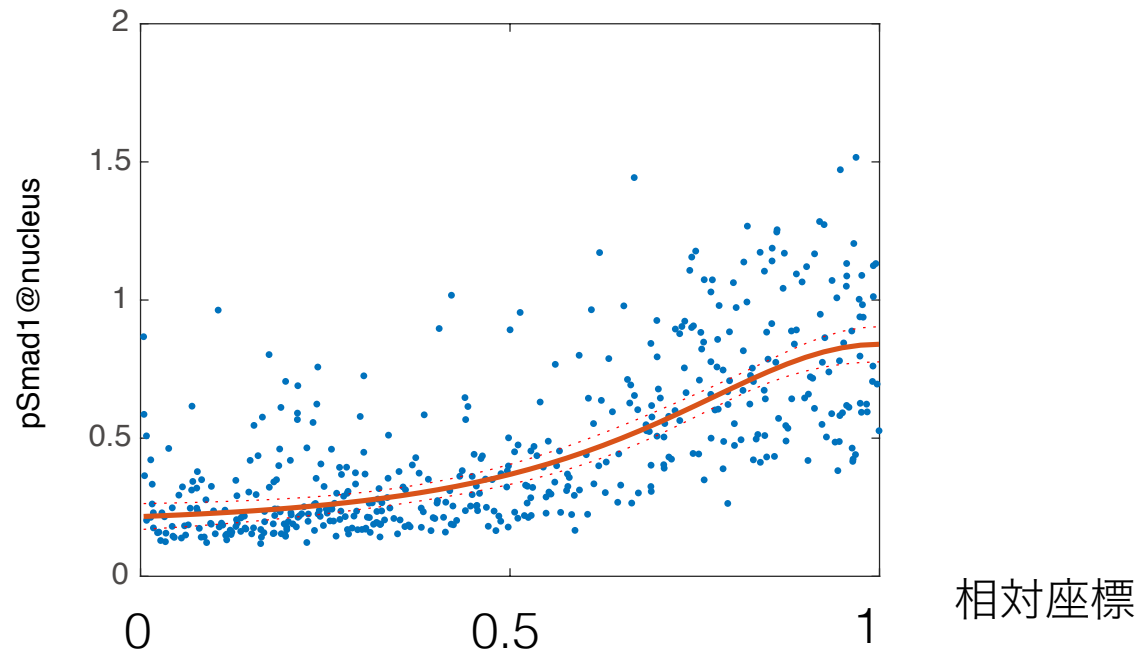
- 体のサイズは濃度勾配に影響しない！

# BMP の濃度勾配が背腹軸を決めている

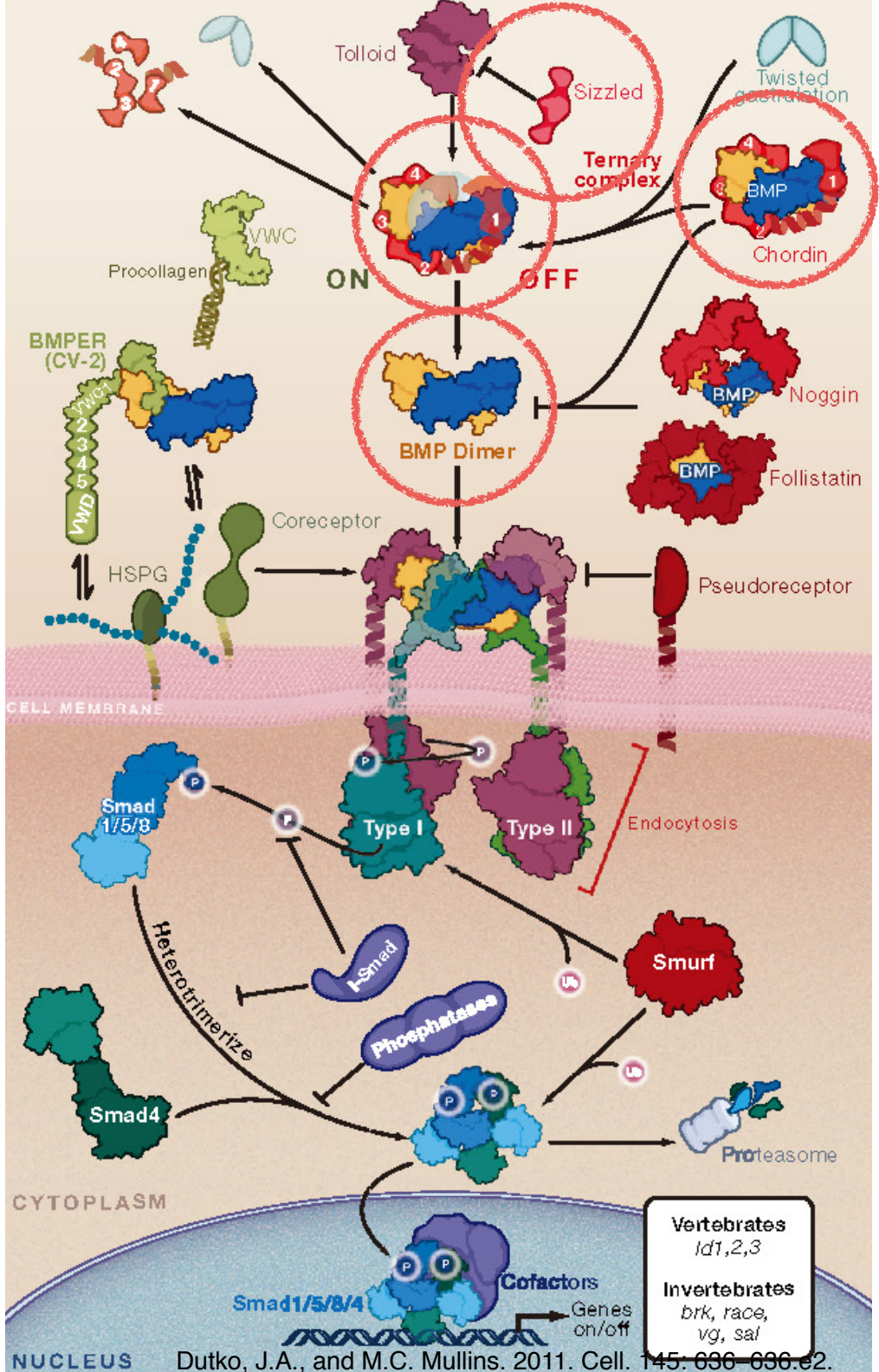


The BMP activity is quantified by the nuclear phospho-Smad1 (pSmad1) signal.

# 背腹軸に沿ったモルフォゲン濃度勾配

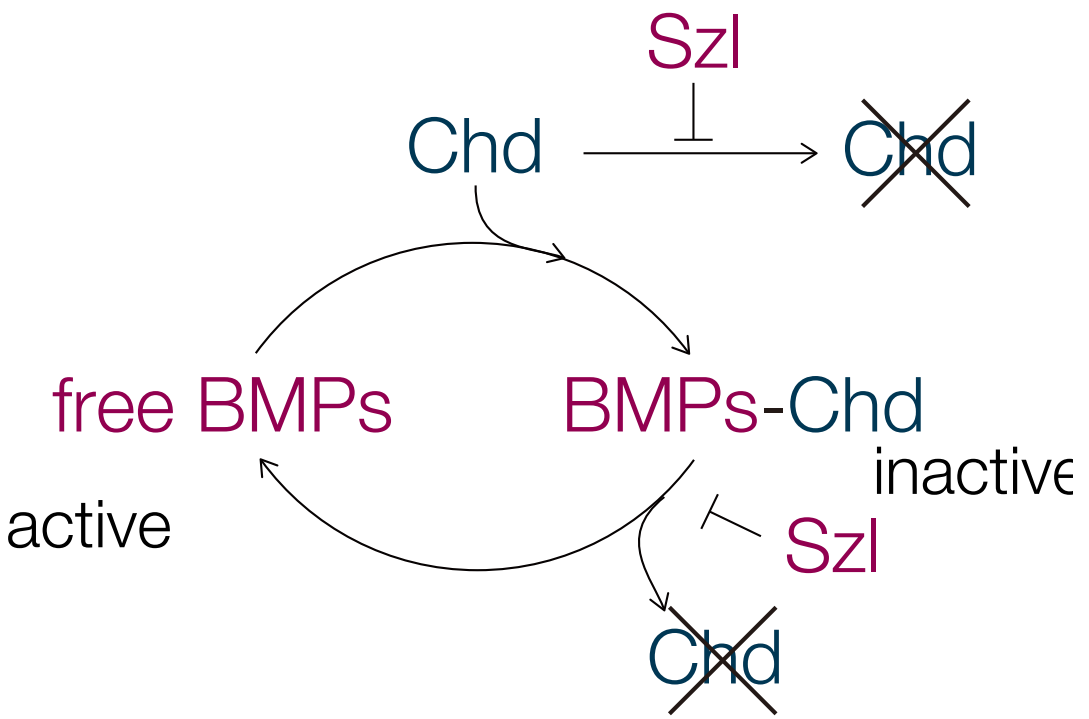


- 疑問：体のサイズに対して、いつも同じ割合で変化する濃度勾配は、どのように作られるか？



# BMP濃度勾配を調節する分子ネットワーク

Sizzled, a inhibitor for Chordin protease, stabilizing Chordin and BMPs-Chd complexes



# 背腹軸パタン形成の数理モデル

(A) ADMP

(C) Chordin

(AC) ADMP-Chd

(BC) BMP4-Chd

(B) BMP4

(S) Sizzled

(1) BMP-dependent production

(2) Degradation

(3) Association between BMPs & Chordin

(4) Sizzled-regulated Chordins degradation

(5) Diffusion

(6) Chd production at dorsal end

$$\frac{\partial C}{\partial t} = V_C \frac{K_C^{h_C}}{K_C^{h_C} + (A+B)^{h_C}} - \lambda_C \frac{C}{1+S/K_i + (C+BC+AC)/K_m} - k_{chdbmp} C \cdot B - kC \cdot A + D_{chd} \Delta C$$

$$\frac{\partial B}{\partial t} = V_B \frac{(A+B)^{h_B}}{K_B^{h_B} + (A+B)^{h_B}} - \lambda_B B + \lambda_C \frac{BC}{1+S/K_i + (C+BC+AC)/K_m} - k_{chdbmp} C \cdot B + D_{bmp} \Delta B$$

$$\frac{\partial A}{\partial t} = V_A \frac{K_A^{h_A}}{K_A^{h_A} + (A+B)^{h_A}} - \lambda_B A + \lambda_C \frac{AC}{1+S/K_i + (C+BC+AC)/K_m} - k_{chdadmp} C \cdot A + D_{admp} \Delta A$$

$$\frac{\partial S}{\partial t} = V_S \frac{(A+B)^{h_S}}{K_S^{h_S} + (A+B)^{h_S}} - \lambda_S S + D_{szl} \Delta S$$

$$\frac{\partial BC}{\partial t} = -\lambda_C \frac{BC}{1+S/K_i + (C+BC+AC)/K_m} + k_{chdbmp} C \cdot B + D_{chdbmp} \Delta BC$$

$$\frac{\partial AC}{\partial t} = -\lambda_C \frac{AC}{1+S/K_i + (C+BC+AC)/K_m} + k_{chdadmp} C \cdot A + D_{chdadmp} \Delta AC$$

$$D\nabla C|_{x=0} = -J_C$$

$$D\nabla B|_{x=0} = D\nabla A|_{x=0} = D\nabla S|_{x=0} = D\nabla BC|_{x=0} = D\nabla S|_{x=0} = 0$$

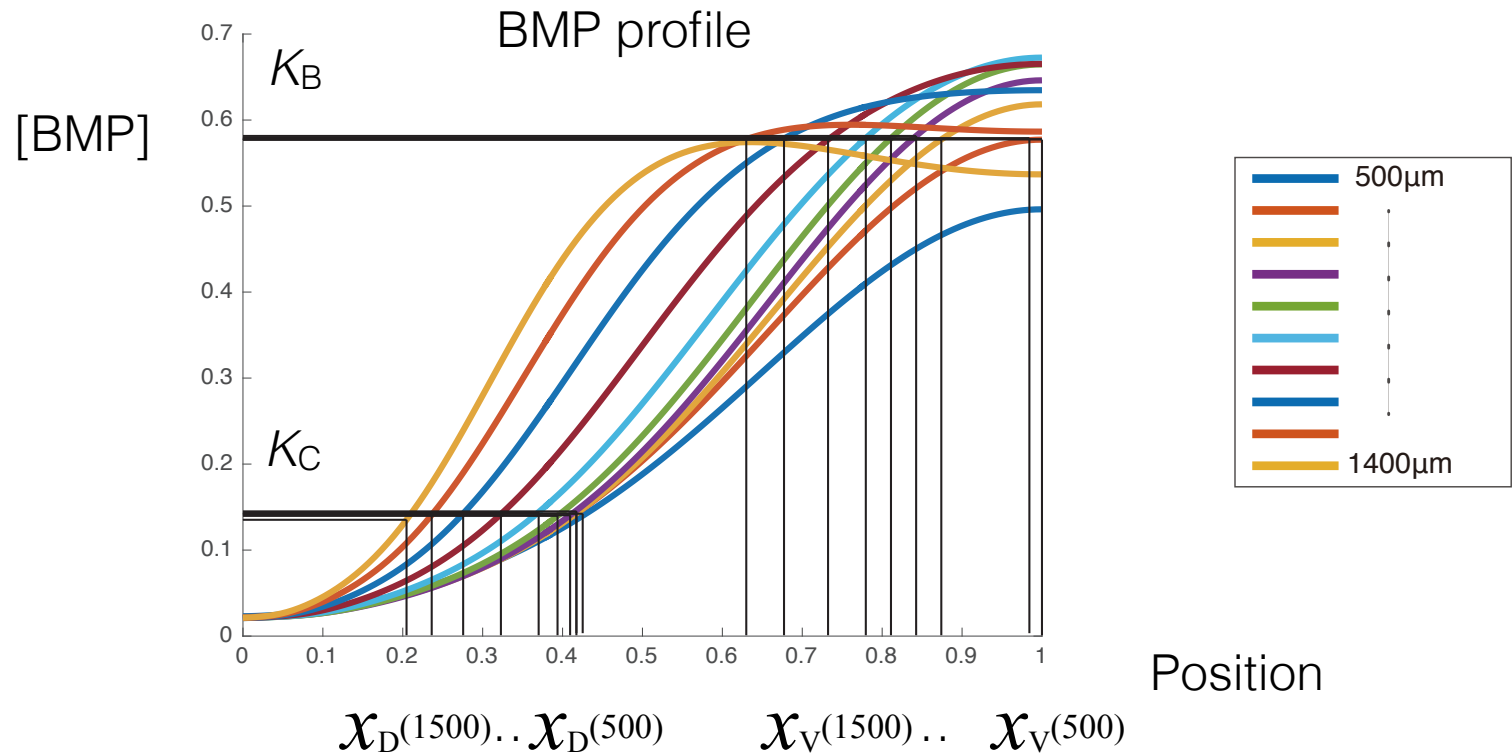
$$D\nabla C|_{x=L} = D\nabla B|_{x=L} = D\nabla A|_{x=L} = D\nabla S|_{x=L} = D\nabla BC|_{x=L} = D\nabla S|_{x=L} = 0$$

# パラメータ

$V_c, K_c, h_c$	.....	(1) BMP-dependent production rate, Hill coefficient, threshold
$V_B, K_B, h_B$		
$V_A, K_A, h_A$		
$V_s, K_s, h_s$		
$\lambda_B, \lambda_S$	.....	(2) Degradation
$k_{BC}$	.....	(3) Association between BMPs & Chordin
$\lambda_C, K_m, K_i$	.....	(4) Sizzled-regulated Chordin degradation
$D_c, D_B, D_A, D_s, D_{CB}, D_{CA}$	.....	(5) Diffusion
$J_c$	.....	(6) Chordin production at dorsal end
$L$	.....	(7) embryo size

- パラメータの数 >> 変数の数

# 異なるサイズに対する モルフォゲン濃度勾配の数値計算

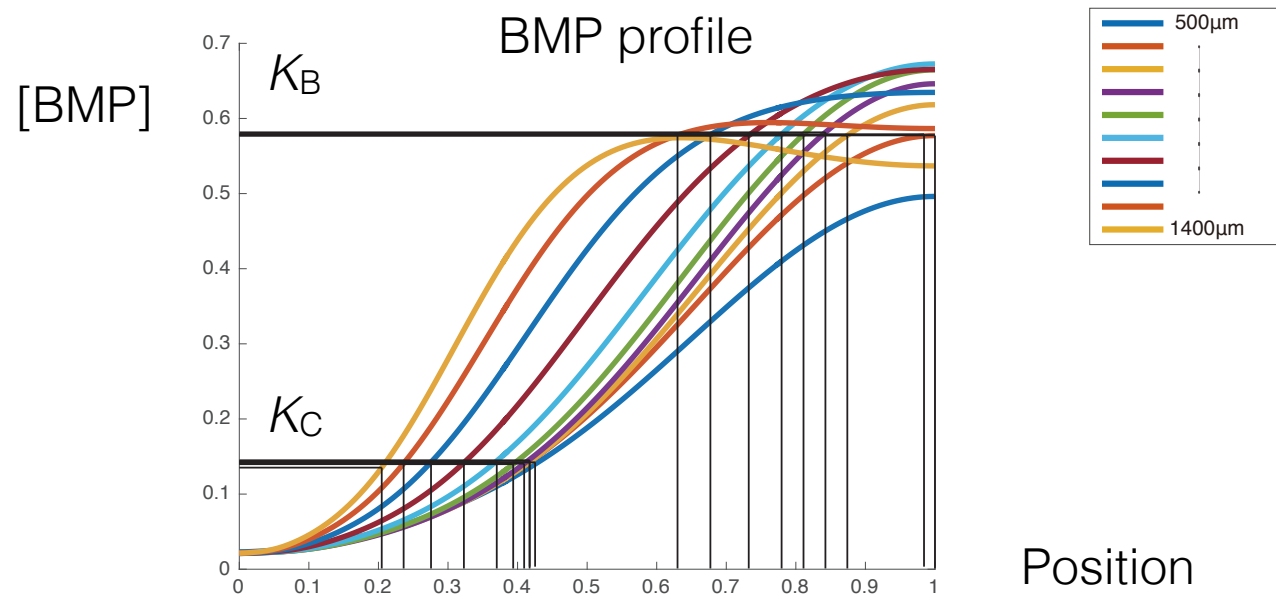


- $[BMP] = K_C$ , 背領域の境界,  $x_D$
- $[BMP] = K_B$ , 腹領域の境界,  $x_V$

$$b = \{\mathcal{X}_D^{(1500)}, \dots, \mathcal{X}_D^{(500)}, \mathcal{X}_V^{(1500)}, \dots, \mathcal{X}_V^{(500)}\}$$

# 実験結果を説明するパラメータの推定

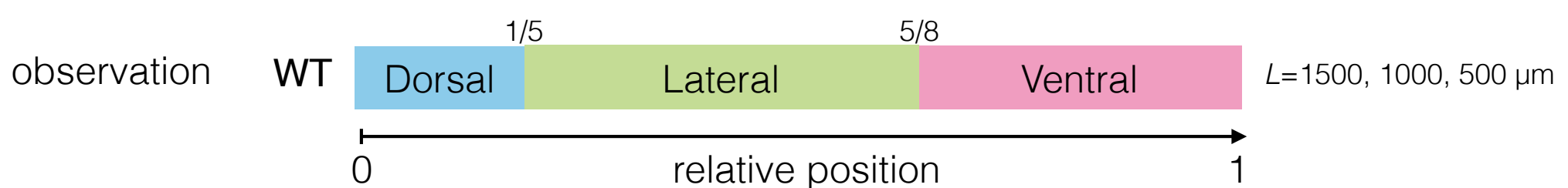
simulation



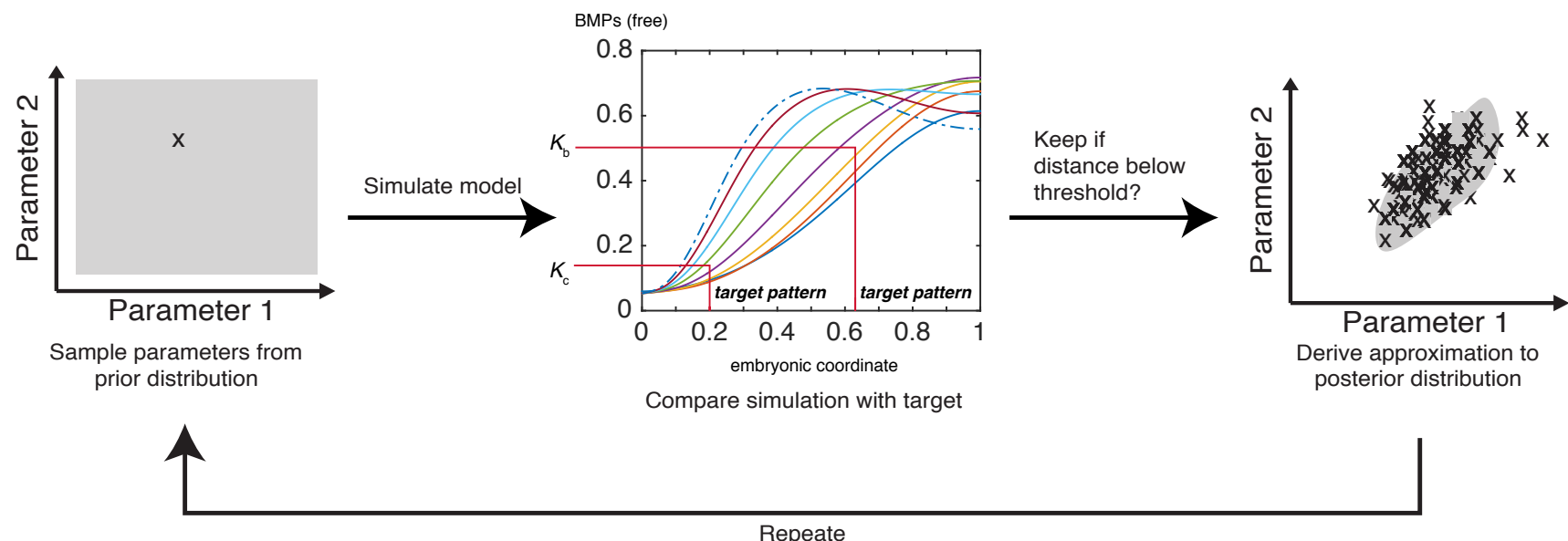
$$b = \{x_{D(1500)}, \dots, x_{D(500)}, x_{V(1500)}, \dots, x_{V(500)}\}$$



$$b^* = \{x_{D(1500)}=1/5, \dots, x_{D(500)}=1/5, x_{V(1500)}=5/8, \dots, x_{V(500)}=5/8\}$$

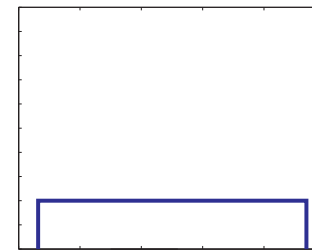


# 近似ベイズ法を用いたパラメータ推定



Liepe, Juliane, Liepe, Juliane, Paul Kirk, Paul Kirk, Sarah Filippi, Sarah Filippi, Tina Toni, Chris P Barnes & Michael P H Stumpf "A framework for parameter estimation and model selection from experimental data in systems biology using approximate Bayesian computation". Nat Protoc 9, 439–456 (2014).

# Approximate Bayesian computation (ABC) with sequential Monte Carlo (SMC) method

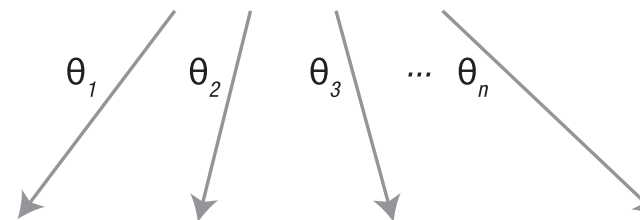
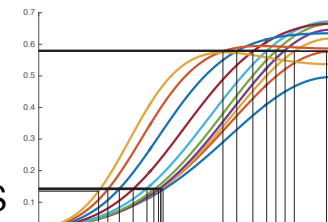


$$P_0(\theta)$$

prior distribution of model parameters  $\theta$

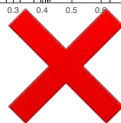
1. pick a parameter value from the prior distribution  $P_{n-1}(\theta)$

2. perform simulation



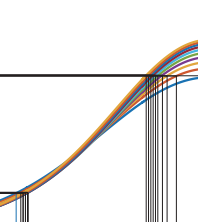
3. compute D, V positions

$$b = \{x_D^{(1500)}, \dots, x_D^{(500)}, x_V^{(1500)}, \dots, x_V^{(500)}\}$$

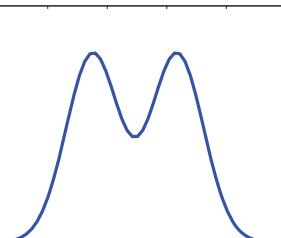


4. compute error from target,  $\rho(b, b^*)$

5. accept ✓ parameter  $\theta$  that errors  $\rho(b, b^*) < \varepsilon$



6. Approximate the posterior distribution  $P_n(\theta)$ .

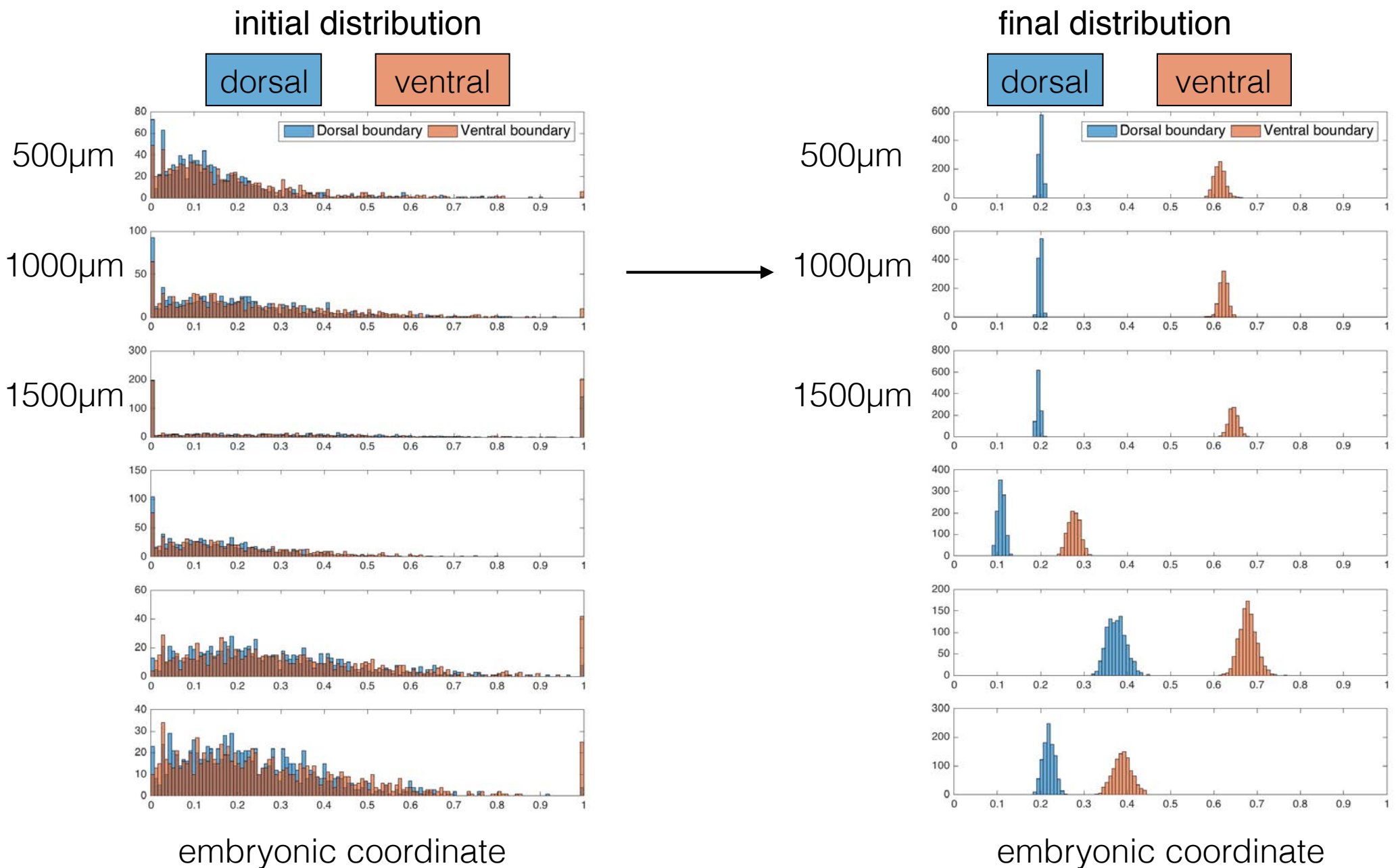


$$P_n(\theta)$$

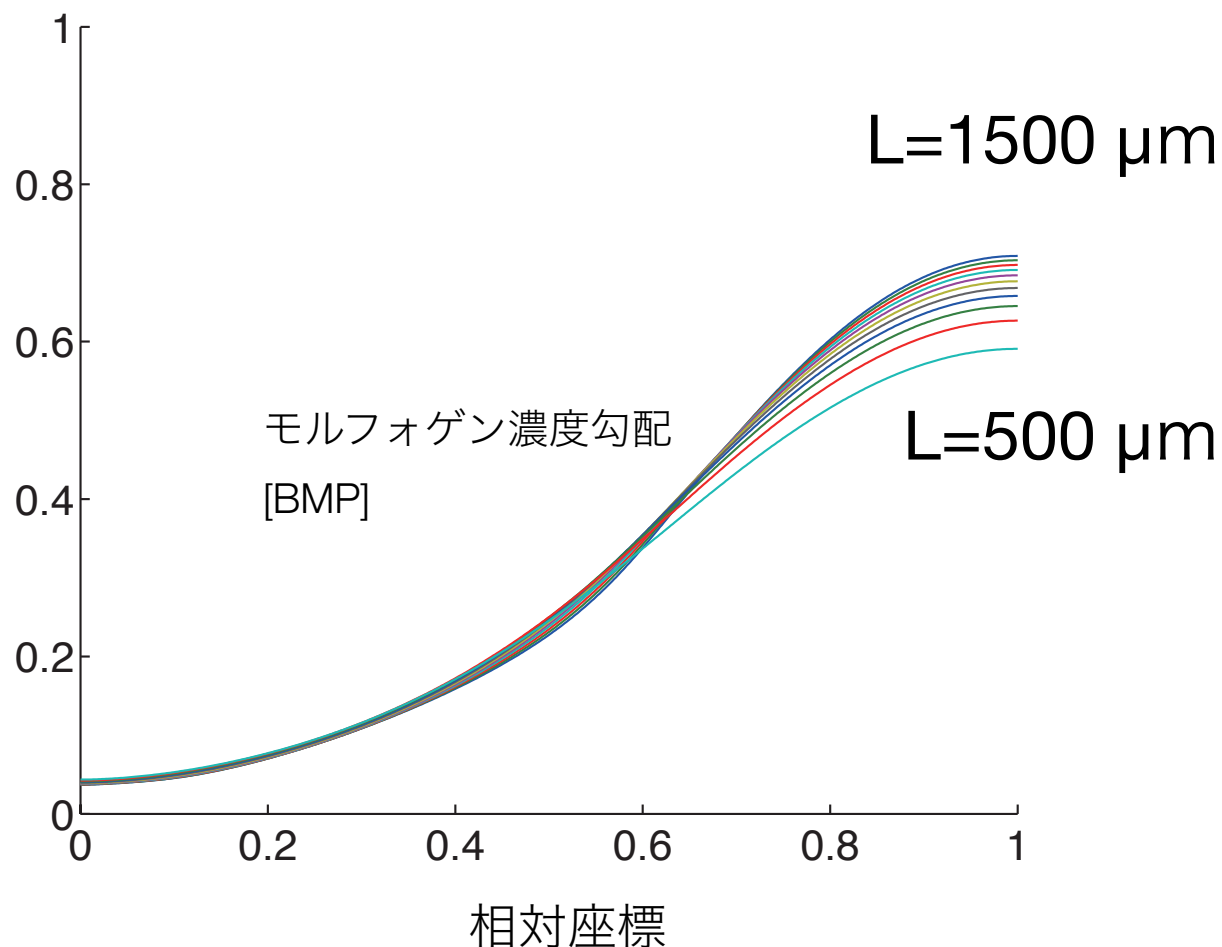
Posterior distribution of model parameters  $\theta$

Use  $P_n(\theta)$  as the prior distribution for the next iteration.  
Repeat this procedure until the error  $\rho$  are sufficiently small

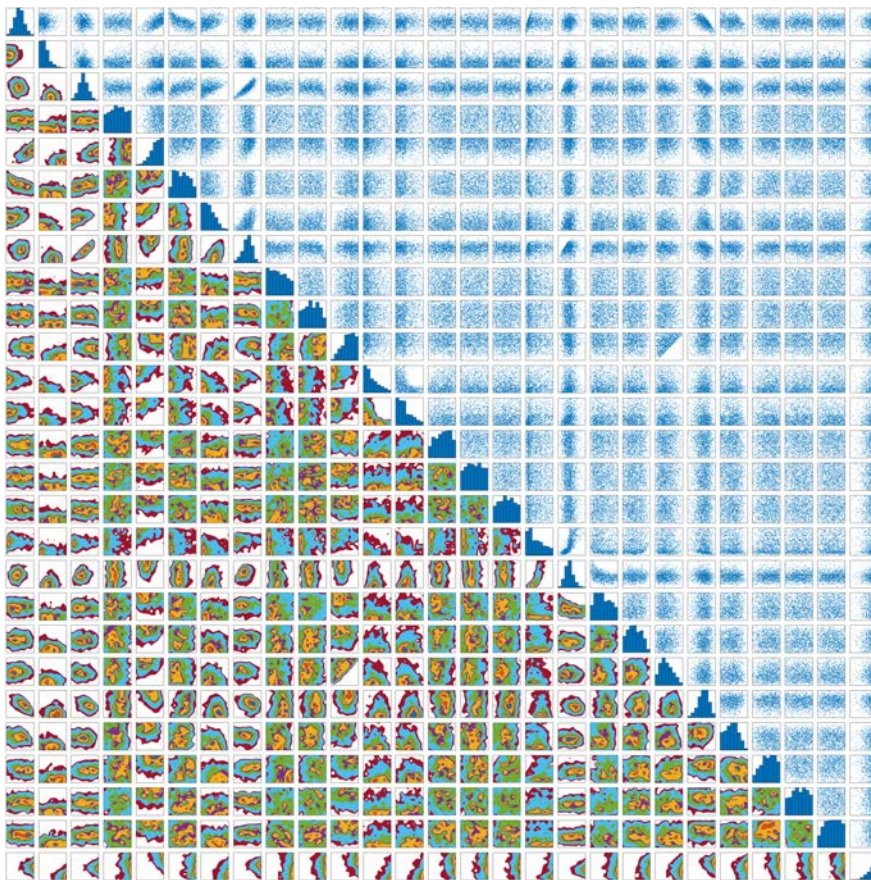
# 背腹境界の分布の推移



# モルフォゲン濃度勾配は 同じ割合で変化する



# データ駆動で本質を見抜く



$$\begin{aligned}\frac{\partial C}{\partial t} &= V_C \frac{K_C^{h_C}}{K_C^{h_C} + (A+B)^{h_C}} - \lambda_C \frac{C}{1+S/K_i + (C+BC+AC)/K_m} - kC \cdot B - kC \cdot A + D\Delta C \\ \frac{\partial B}{\partial t} &= V_B \frac{(A+B)^{h_B}}{K_B^{h_B} + (A+B)^{h_B}} - \lambda_B B + \lambda_C \frac{BC}{1+S/K_i + (C+BC+AC)/K_m} - kC \cdot B + D\Delta B \\ \frac{\partial A}{\partial t} &= V_A \frac{K_A^{h_A}}{K_A^{h_A} + (A+B)^{h_A}} - \lambda_B A + \lambda_C \frac{AC}{1+S/K_i + (C+BC+AC)/K_m} - kC \cdot A + D\Delta A \\ \frac{\partial S}{\partial t} &= V_S \frac{(A+B)^{h_S}}{K_S^{h_S} + (A+B)^{h_S}} - \lambda_S S + D\Delta S \\ \frac{\partial BC}{\partial t} &= -\lambda_C \frac{BC}{1+S/K_i + (C+BC+AC)/K_m} + kC \cdot B + D\Delta BC \\ \frac{\partial AC}{\partial t} &= -\lambda_C \frac{AC}{1+S/K_i + (C+BC+AC)/K_m} + kC \cdot A + D\Delta AC\end{aligned}$$

↓  
データ駆動型の縮約

- スケーリング性の数理構造を、  
データ解析から抽出する